

Постановка задачи поиска оптимального программного управления

Пусть поведение модели объекта управления описывается обыкновенным дифференциальным уравнением

$$\dot{x}(t) = f(x(t), u(t)), \quad (1)$$

где x – вектор состояния системы, $x = (x_1, \dots, x_n)^T \in R^n$; u – вектор управления, $u = (u_1, \dots, u_q)^T \in U \subseteq R^q$, U – некоторое заданное множество допустимых значений управления, определяемое прямым произведением отрезков $[a_1, b_1] \times \dots \times [a_q, b_q]$; $t \in T = [0, t_f]$ – промежуток времени функционирования системы; момент окончания t_f заранее не задан; $f(x, u)$ – непрерывная вектор-функция; R^n – n -мерное евклидово пространство.

Начальное условие $x(0) = x_0$ задает начальное состояние системы.

Определим множество допустимых процессов $D(x_0)$ как множество троек $d = (t_f, x(\cdot), u(\cdot))$, которые включают момент окончания процесса управления, траекторию $x(\cdot)$ и управление $u(\cdot)$ (где $\forall t \in T: x(t) \in R^n, u(t) \in U$, функции $x(\cdot)$ непрерывны и кусочно-дифференцируемы, а $u(\cdot)$ кусочно-непрерывны), удовлетворяющие уравнению (1) с заданным начальным условием.

На множестве $D(x_0)$ определим функционал качества управления

$$I(d) = F(t_f, x(t_f)), \quad (2)$$

где $F(t_f, x)$ – заданная непрерывная функция.

Требуется найти такую тройку $d^* = (t_f^*, x^*(\cdot), u^*(\cdot)) \in D(x_0)$, что

$$I(d^*) = \min_{d \in D(x_0)} I(d).$$

Постановка задачи об управлении солнечным парусом

В задаче рассматривается модель плоского паруса, имеющего идеальную отражающую поверхность. Движение происходит благодаря зеркальной поверхности, создающей тягу при отражении падающего на поверхность солнечного светового излучения. Первые исследования в области применения солнечного излучения для межпланетных полетов связаны с опытами П.Н. Лебедева по обнаружению светового давления в начале XX века. Первое серьезное исследование данной проблемы принадлежит Ф.А. Цандеру. В своих работах он предлагал для создания тяги использовать тонкие зеркала, выполненные из алюминиевых листов.

Солнечный парус как двигатель создает тягу, используя поток энергии и электромагнитное излучения Солнца. При взаимодействии потока солнечного светового излучения с поверхностью паруса происходит изменение вектора количества движения потока фотонов.

Рассмотрим математическую модель движения центра масс космического аппарата под действием тяги в гравитационном поле:

$$M(t) \cdot \ddot{\vec{r}} = \vec{P} + M(t) \cdot \vec{g} + \vec{F}, \quad (3)$$

где $M(t)$ – масса аппарата, \vec{r} – радиус-вектор в инерциальной системе координат, $\vec{P} = P\vec{e}$ – вектор тяги, \vec{e} – единичный вектор направления тяги, $g(t, \vec{r})$ – вектор ускорения от гравитационных сил, t – время, \vec{F} – вектор других внешних сил, действующих на аппарат, определяемый внешними условиями полета.

Модель движения солнечного паруса, описанная уравнением (1), содержит в себе учет гравитационных сил и сил давления солнечного излучения.

Масса космического аппарата является величиной постоянной, поскольку данная модель не учитывает износ солнечного паруса и изменение его площади, и складывается из двух составляющих: массы полезной нагрузки M_π и массы непосредственно паруса, задаваемой соотношением $M_s = S_0 \rho \delta$. Подставляя полученные соотношения в уравнение движения, получаем:

$$\vec{\ddot{r}} = \frac{\wp_{\text{А}} \cdot S_0}{S_0 \cdot \rho \cdot \delta + M_\pi} \cdot \left(\frac{R_\oplus}{R} \right)^2 \cdot (\vec{n} \cdot \vec{i})^2 \vec{n} + \vec{g},$$

где \vec{n} – единичный вектор нормали к теневой стороне паруса, \vec{i} – единичный вектор направления солнечных лучей, $(\vec{n} \cdot \vec{i})$ – косинус угла $\widehat{\vec{n} \vec{i}}$ установки паруса по отношению к солнечным лучам, $\wp_{\text{А}}$ – солнечное давление на единичную площадку, установленную перпендикулярно к солнечным лучам, на орбите Земли R_\oplus , $R = R(r)$ – расстояние аппарата до Солнца (в гелиоцентрической системе координат $R = r$, ρ и δ – плотность и толщина материала паруса.

В уравнения движения вошли параметры паруса S_0 , ρ , δ и M_π . Комбинацию этих параметров, содержащуюся в уравнении массы, можно заменить ускорением, которое сообщает парус космическому аппарату на расстоянии R_\oplus от Солнца, будучи установленным перпендикулярно к солнечным лучам ($\vec{n} = \vec{i}$):

$$a_0 = \frac{\wp_{\text{А}} \cdot S_0}{S_0 \cdot \rho \cdot \delta + M_\pi} \leq \frac{\wp_{\text{А}}}{\rho \cdot \delta}$$

В конечном результате уравнение движения записывается следующим образом:

$$\vec{\ddot{r}} = a_0 \cdot \left(\frac{R_\oplus}{R} \right)^2 \cdot (\vec{n} \cdot \vec{i})^2 \vec{n} + \vec{g}$$

В данной модели ускорение a_0 для уравнения движения играет роль постоянного управляющего параметра. Единственная управляющая функция в этом

уравнении – угол установки паруса (направление нормали к теневой стороне паруса), который может меняться в пределах:

$$\begin{aligned} -\frac{\pi}{2} \leq (\vec{n}(t) \cdot \vec{i}) \leq \frac{\pi}{2} \\ |\vec{n}| \equiv 1 \end{aligned}$$

При рассмотрении межорбитального участка перелета солнечного паруса, летящего вне сферы гравитационного воздействия планет, орбиты которых считаются компланарными с нулевым эксцентриситетом, движение космического аппарата происходит в центральном гравитационном поле Солнца под действием давления солнечного излучения. Полагая в уравнении движения $R = r$, $g = -g_0 r_0^2 r^{-3} r$ и обозначая через α угол установки паруса, составляемый нормалью к теневой стороне паруса и радиусом-вектором \vec{r} , совпадающим с направлением солнечных лучей $\vec{i} = \frac{\vec{r}}{r}$, получаем следующую систему уравнений плоского движения:

$$\begin{aligned} \dot{r}(t) &= u(t), \\ \dot{\theta}(t) &= \frac{v(t)}{r(t)}, \\ \dot{u}(t) &= \frac{v^2(t)}{r(t)} + \frac{r_0^2}{r^2(t)} (a_0 \cdot \cos^3 \alpha - g_0), \\ \dot{v}(t) &= -\frac{u(t)v(t)}{r(t)} + a_0 \cdot \frac{r_0^2 \cdot \sin \alpha \cos^2 \alpha}{r^2(t)}, \end{aligned}$$

где r, θ – радиальная и угловая позиции соответственно; u, v – радиальная и тангенциальная скорости, α – угол тангажа (переменная управления), a_0 – параметр яркости солнечного паруса, g_0 – гравитационное ускорение от Солнца на радиусе r_0 . Схема модели космического аппарата с солнечным парусом изображена на рисунке 1.

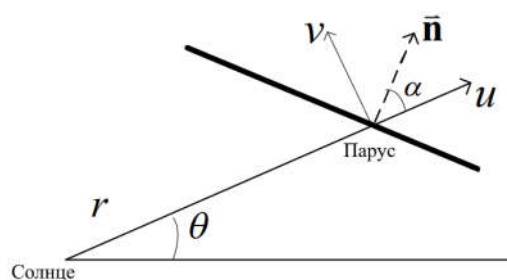


Рисунок 1 Схема объекта управления

Начальные условия определяются из положения солнечного паруса на гелиоцентрической орбите Земли.

$$\begin{aligned} r(0) &= 1, \\ \theta(0) &= 0, \\ u(0) &= 0, \\ v(0) &= 1. \end{aligned} \tag{4}$$

Конечные условия определяются в зависимости от гелиоцентрической орбиты выбранной целевой планеты и приведены в таблице 1.

Таблица 1. Конечные условия задачи перелета солнечного паруса

Целевая орбита планеты	r_f	u_f	$v_f = \frac{1}{\sqrt{r_f}}$
Меркурий	0,39	0	1,601281
Венера	0,72	0	1,178511
Марс	1,52	0	0,811107

Поскольку целью миссии является перелет между орбитами планет солнечной системы, на угловую позицию солнечного паруса в гелиоцентрической системе координат не накладываются ограничения.

Функционал качества управления:

$$I = \lambda_1 \frac{t_f}{86400} + \lambda_2 [r(t_f) - r_f]^2 + \lambda_3 [u(t_f) - u_f]^2 + \lambda_4 [v(t_f) - v_f]^2, \quad (5)$$

где $\lambda_1, \lambda_2, \lambda_3, \lambda_4$ – весовые коэффициенты. Структура функционала соответствует реализации межпланетной миссии, заключающейся в переходе с орбиты Земли (ее задают начальные условия (4)) на орбиту Меркурия, Венеры или Марса (их определяют конечные условия, приведенные в таблице 1) за минимальное время. Первое слагаемое описывает число дней, затрачиваемое на перелет, а второе, третье и четвертое – точность выхода на заданную орбиту. Значения весовых коэффициентов характеризуют степень важности обеспечения требований к желаемой траектории. Для контроля степени выполнения конечных условий на каждой итерации контролируется величина невязки в виде модуля разности по всем координатам космического аппарата в конечный момент времени:

$$(|r(t_f) - r_f|, |u(t_f) - u_f|, |v(t_f) - v_f|).$$

Предлагается искать приближенное решение в виде функции насыщения, которая должна гарантировать выполнение заданных ограничений на управление параллелепипедного вида. Аргументы функции насыщения искать в виде линейной комбинации заданных базисных функций, которые используются в спектральном методе анализа и синтеза нелинейных систем управления. Поскольку момент окончания явно не задан, то возникает проблема определения семейства базисных функций. Поэтому применяется подход, связанный с введением новой независимой переменной $\tau \in [0, 1]$, отрезок ее изменения делится на P подынтервалов одинаковой длины, равной $\frac{1}{P}$. Промежуток времени $[0, t_f]$ функционирования системы делится тоже на P подынтервалов переменной длины $h_{k+1} = t_{k+1} - t_k \geq 0$, $k = 0, 1, \dots, P-1$; $t_0 = 0$. При этом момент окончания процесса находится по формуле

$$t_f = \sum_{k=0}^{P-1} h_{k+1},$$

Моменту $\tau=0$ соответствует $t=0$, а моменту $\tau=1$ момент окончания t_f .

Используем соотношение, связывающее дифференциалы переменных t и τ .

$$dt = h_{k+1} P d\tau, \quad t_k \leq t < t_{k+1}, k = 0, 1, \dots, P-1. \quad (6)$$

Интегрируя по отдельному промежутку времени t , получаем

$$\int_{t_k}^{t_{k+1}} dt = h_{k+1} P \int_{\tau_k}^{\tau_{k+1}} d\tau, \quad \underbrace{t_{k+1} - t_k}_{h_{k+1}} = h_{k+1} P (\tau_{k+1} - \tau_k). \text{ Отсюда следует, что шаг по переменной}$$

τ постоянный и равен $\frac{1}{P}$, так как $\tau_{k+1} - \tau_k = \frac{1}{P}$, $k = 0, 1, \dots, P-1$; $\tau_0 = 0, \tau_P = 1$.

Найдем связь между переменными t и τ : $\int_{t_k}^t dt = h_{k+1} P \int_{\tau_k}^{\tau} d\tau$,

$t - t_k = h_{k+1} P (\tau - \tau_k) = h_{k+1} P (\tau - \frac{k}{P})$, $k = 0, 1, \dots, P-1$. Поскольку $t_k = \sum_{j=0}^{k-1} h_{j+1}$, имеем

$$t = \sum_{j=0}^{k-1} h_{j+1} + h_{k+1} P (\tau - \frac{k}{P}), \quad k = 0, 1, \dots, P-1.$$

$$\frac{dx(\tau)}{d\tau} = h_{k+1} P f(x(\tau), u(\tau)), \quad \tau_k \leq \tau < \tau_{k+1}; \quad k = 0, 1, \dots, P-1; \quad x(0) = x_0. \quad (7)$$

Искомое управление предлагается искать в виде функции насыщения sat , гарантирующей выполнение ограничений на управление:

$$u_j(\tau) = \text{sat}\{g_j(\tau)\}, \quad j \in \overline{1, q}; \quad (8)$$

$$\text{sat } g_j(\tau) = \begin{cases} a_j, & g_j(\tau) \leq a_j, \\ g_j(\tau), & a_j < g_j(\tau) < b_j, \\ b_j, & g_j(\tau) \geq b_j, \end{cases} \quad \forall \tau \in [0, 1]$$

$$g_j(\tau) = \sum_{i=0}^P c_i^j S(i, \tau).$$

В качестве базисной функций $S(i, \tau)$, можно использовать сплайны:

$S(i, \tau) = Sp^*(\tau P - i)$, $h = \frac{1}{P}$, $i = 0, 1, \dots, P$ - финитные функции, порожденные сплайнами, на отрезке $[0, 1]$:

$$Sp^*(t) = \begin{cases} 2^{p-1}(1+t)^p, & t \in [-1, -\frac{1}{2}], \\ 1 - 2^{p-1}|t|^p, & t \in [-\frac{1}{2}, \frac{1}{2}], \\ 2^{p-1}(1-t)^p, & t \in [\frac{1}{2}, 1], \\ 0, & t \notin [-1, 1], \end{cases}$$

где $Sp^*(t)$ при $p=0$ задает кусочно-постоянный сплайн, при $p=1$ – кусочно-линейный (крышки), при $p=2$ – квадратичный, при $p=3$ – кубический.

МЕТОДИКА ПОДСЧЕТА ФУНКЦИОНАЛА

1. На каждой итерации выбранным метаэвристическим алгоритмом оптимизации генерируется расширенный вектор-столбец

$$(h_1, \dots, h_P | c_0^1, \dots, c_P^1 | \dots | c_0^q, \dots, c_P^q)^T.$$

2. Интегрируя уравнение (7) с заданным начальным условием и управлением, вычисляемым по формуле (8), на отрезке $[0, 1]$, получаем решение $x(\tau)$, $\tau \in [0, 1]$.

3. Подсчитать значение функционала $I = F(t_f, x(t_f)) = F(\sum_{k=0}^{P-1} h_{k+1}, x(1))$.

Алгоритм оптимизации, имитирующий поведение стаи серых волков

Метод серых волков (Grey Wolf Optimizer – GWO) имитирует охоту стаи серых волков за жертвой. Он относится к методам роевого интеллекта, в которых используется иерархия лидерства в стае и особый механизм охоты, заключающийся в отслеживании и приближении к жертве, ее последующем окружении и финальном нападении.

В начале работы метода случайным образом, используя предположение о равномерном распределении, на множестве допустимых решений D генерируется некоторый набор начальных точек (волков в стае): $I = \{x^j = (x_1^j, x_2^j, \dots, x_n^j)^T, j = 1, \dots, NP\} \subset D$, где x^j – вектор координат волка с номером j , NP – количество волков в стае. Поскольку в процессе охоты положение жертвы точно не известно вследствие ее постоянного движения (а в задаче оптимизации не известно положение точки экстремума), то члены стаи ориентируются на лидеров, полагая, что они обладают большей информацией о положении жертвы (точке экстремума).

В стае волков, где каждый волк характеризуется своей позицией в области допустимых решений, выбираются три последовательно лучших (α, β, γ) по величине целевой функции $f(x): x^\alpha, x^\beta, x^\gamma$. Все волки в стае меняют свое положение с учетом сравнения своей текущей позиции с этими тремя наилучшими:

$$x^j(k+1) = \frac{x^{j,1}(k+1) + x^{j,2}(k+1) + x^{j,3}(k+1)}{3},$$

$$\begin{aligned}
x^{j,1}(k+1) &= x^\alpha(k) - A_\alpha^j \otimes D_\alpha^j(k), \\
x^{j,2}(k+1) &= x^\beta(k) - A_\beta^j \otimes D_\beta^j(k), \\
x^{j,3}(k+1) &= x^\gamma(k) - A_\gamma^j \otimes D_\gamma^j(k),
\end{aligned}$$

$$\begin{aligned}
D_\alpha^j(k) &= |C_\alpha^j \otimes x^\alpha(k) - x^j(k)|, \\
D_\beta^j(k) &= |C_\beta^j \otimes x^\beta(k) - x^j(k)|, \\
D_\gamma^j(k) &= |C_\gamma^j \otimes x^\gamma(k) - x^j(k)|,
\end{aligned}$$

где \otimes – операция поэлементного произведения векторов по Адамару, k – номер итерации, $x^j(k+1), x^j(k)$ – следующее и текущее положения волков, $j=1,...,NP$; $A_\alpha^j, A_\beta^j, A_\gamma^j$ – векторы, определяемые по правилу $A_m^j = 2a \otimes r_1 - a, m = \alpha, \beta, \lambda; r_1$ – n -мерный вектор, каждая компонента которого описывается равномерным распределением на отрезке $[0,1]$; a – вектор с одинаковыми компонентами, уменьшающимися линейно по закону $a_i = 2(1 - \frac{k}{K}), i = 1, ..., n, K$ – максимальное число итераций; $C_\alpha^j, C_\beta^j, C_\gamma^j$ – векторы, определяемые по правилу $C_m^j = 2r_2, m = \alpha, \beta, \lambda, r_2$ – n -мерный вектор, каждая компонента которого описывается равномерным распределением на отрезке $[0,1]$. Имеется модификация, в которой $a_i = 2(1 - \frac{k^2}{K^2}), i = 1, ..., n$. Программное обеспечение, подтвердило эффективность предложенного метода.

Алгоритм оптимизации, имитирующий поведение стаи горбатых китов

Метод горбатых китов (Whales Optimization Algorithm – WOA) имитирует охоту стаи горбатых китов за крилем или мелкой рыбой, используя уникальный

способ преследования и окружения цели – движение из глубины к поверхности океана по спирали.

В начале работы метода случайным образом, используя предположение о равномерном распределении, на множестве допустимых решений D генерируется некоторый набор начальных точек (горбатых китов в стае): $I = \{x^j = (x_1^j, x_2^j, \dots, x_n^j)^T, j = 1, \dots, NP\} \subset D$, где x^j – вектор координат кита с номером j , NP – количество горбатых китов в стае. Поскольку в процессе охоты положение жертвы точно неизвестно вследствие ее постоянного движения (в задаче оптимизации положение точки экстремума также неизвестно), то члены стаи ориентируются на лидера, полагая, что он обладает большей информацией о положении жертвы (точке экстремума).

В стае китов положение каждого кита характеризуется относительно лидера стаи. В процессе реализации охоты стая китов может, как исследовать множество допустимых решений в поисках косяка рыбы, так и окружать найденную добычу, постепенно приближаясь к жертве. Одним из возможных способов приближения является спиралевидное движение вокруг потенциальной добычи.

На каждой итерации для каждой особи ($j = 1, \dots, NP$) генерируется случайное число p согласно равномерному закону распределения на отрезке $[0,1]$.

Если $p < 0,5$, то подсчитывается величина $|A^j|$, где A^j – вектор, определяемый по правилу $A^j = 2a \otimes r_1 - a$; r_1 – n -мерный вектор, каждая компонента которого описывается равномерным распределением на отрезке $[0,1]$; a – вектор с одинаковыми компонентами, уменьшающимися линейно по закону

$a_i = 2(1 - \frac{k}{K})$, $i = 1, \dots, n$, K – максимальное число итераций, знак $|\cdot|$ обозначает евклидову норму вектора. Имеется модификация алгоритма, в которой координаты вектора a уменьшаются по квадратичному закону $a_i = 2(1 - \frac{k^2}{K^2})$, $i = 1, \dots, n$.

В случае, когда $|A^j| < 1$, используется формула, по которой новое положение кита определяется относительно расположения жертвы:

$$x^j(k+1) = x^*(k) - A^j \otimes D^j(k),$$

$$D^j(k) = |C^j \otimes x^*(k) - x^j(k)|,$$

где $x^*(k)$ – лучшая особь на текущей итерации, \otimes – операция поэлементного произведения векторов по Адамару, k – номер итерации, $x^j(k+1)$, $x^j(k)$ – следующее и текущее положения китов, $j = 1, \dots, NP$; C^j – вектор, определяемый по правилу $C^j = 2r_2$, r_2 – n -мерный вектор, каждая компонента которого описывается равномерным распределением на отрезке $[0,1]$. В этом случае реализуется процесс разработки найденного источника пищи.

Если $|A^j| \geq 1$, то реализуется исследование (поиск новых источников пищи) на множестве допустимых решений:

$$x^j(k+1) = x_{rand}(k) - A^j \otimes D^j(k),$$

$$D^j(k) = |C^j \otimes x_{rand}(k) - x^j(k)|,$$

где $x_{rand}(k)$ – случайно выбранная особь на текущей итерации.

Если $p \geq 0,5$, то новое положение кита определяется по формуле

$$x^j(k+1) = D^{*j}(k) \cdot e^{\beta l} \cdot \cos(2\pi l) + x^*(k),$$

$$D^{*j}(k) = |x^*(k) - x^j(k)|,$$

где l – случайная величина, распределенная равномерно на отрезке $[-1, 1]$, β – параметр логарифмической спирали.

Алгоритм оптимизации, имитирующий поведение стаи стрекоз

Алгоритм (Dragonfly Algorithm – DA) имитирует как статическое, так и динамическое поведение семейства стрекоз в природе, реализуя три принципа: разделение (уклонение одного индивидуума от другого внутри окрестности его расположения), выравнивание (в окрестности положения индивидуума скорости стрекоз полагаются одинаковыми), сплоченность (индивидуумы перемещаются к центру масс семейства). Конфигурация стаи стрекоз и направление их полета определяются задачей поиска пищи (стремлением к лидеру стаи), уклонением от хищника (наихудшего решения), памятью о предыдущем передвижении. Нахождение нового положения стрекозы (положения решения в множестве допустимых решений) производится либо под влиянием ближайших соседей в стае (если их число превышает единицу), либо посредством независимого перелета с использованием распределения Леви (в противном случае). Используя описанные принципы, стая стрекоз осуществляет разведку новых областей и разработку старых. Характерные черты поведения стрекоз используются при решении задачи поиска экстремума функции на множестве допустимых решений. Процедура поиска завершается при достижении заданного числа итераций.